

Argentina
UNIVERSIDAD DE BUENOS AIRES
Facultad de Ingeniería



www.fi.uba.ar

Argentina
UNIVERSIDAD DE BUENOS AIRES
Facultad de Ingeniería
Departamento de Construcciones y Estructuras

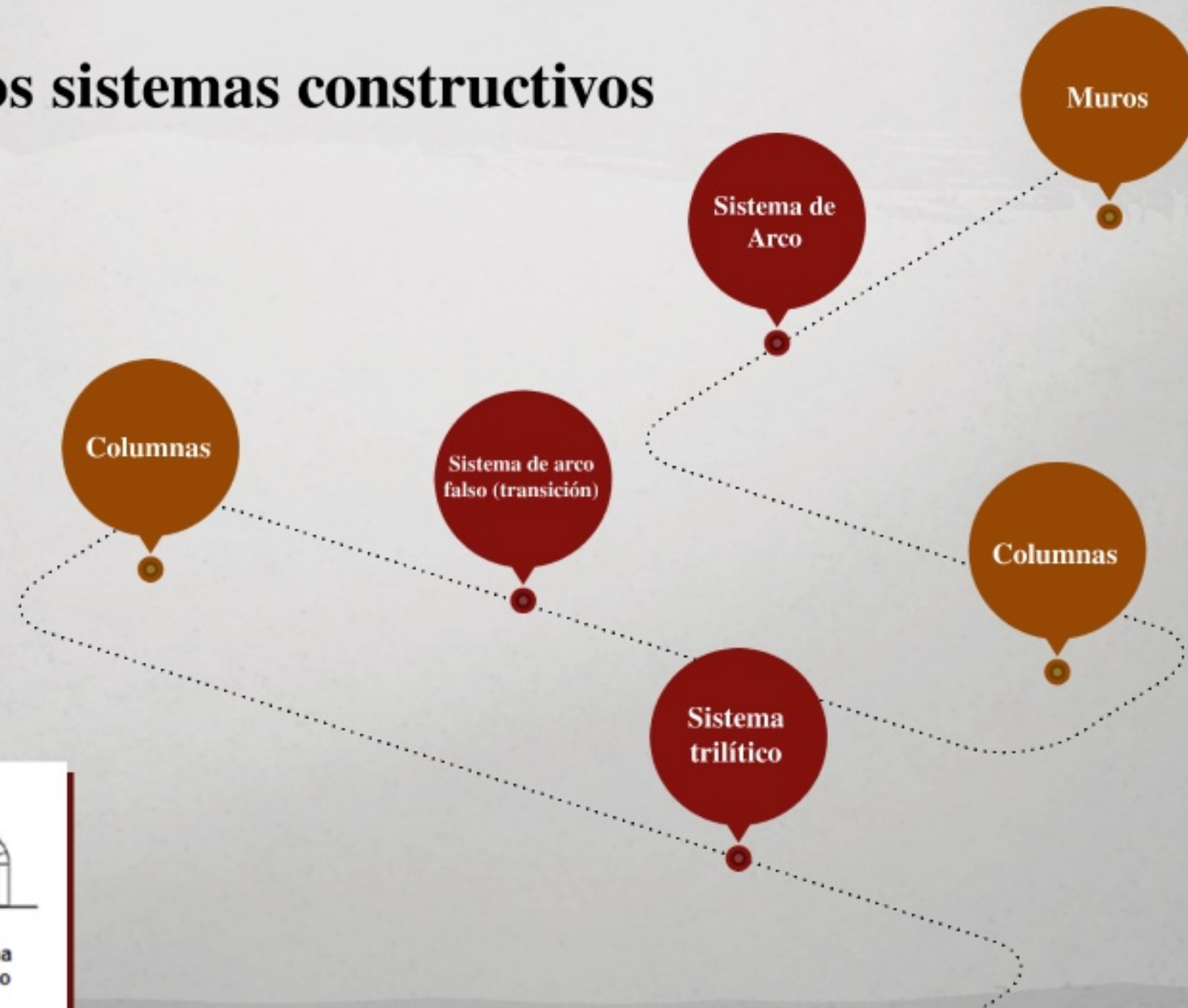
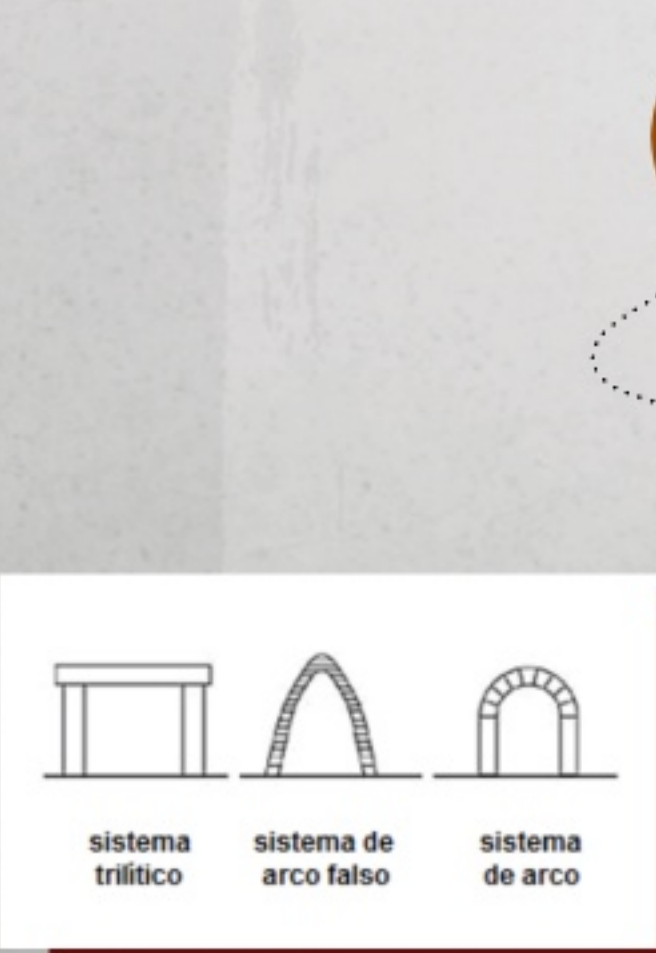
CIMENTACIONES
94.09 y 74.11

<http://campus.fi.uba.ar/>
www.fi.uba.ar/materias/7411



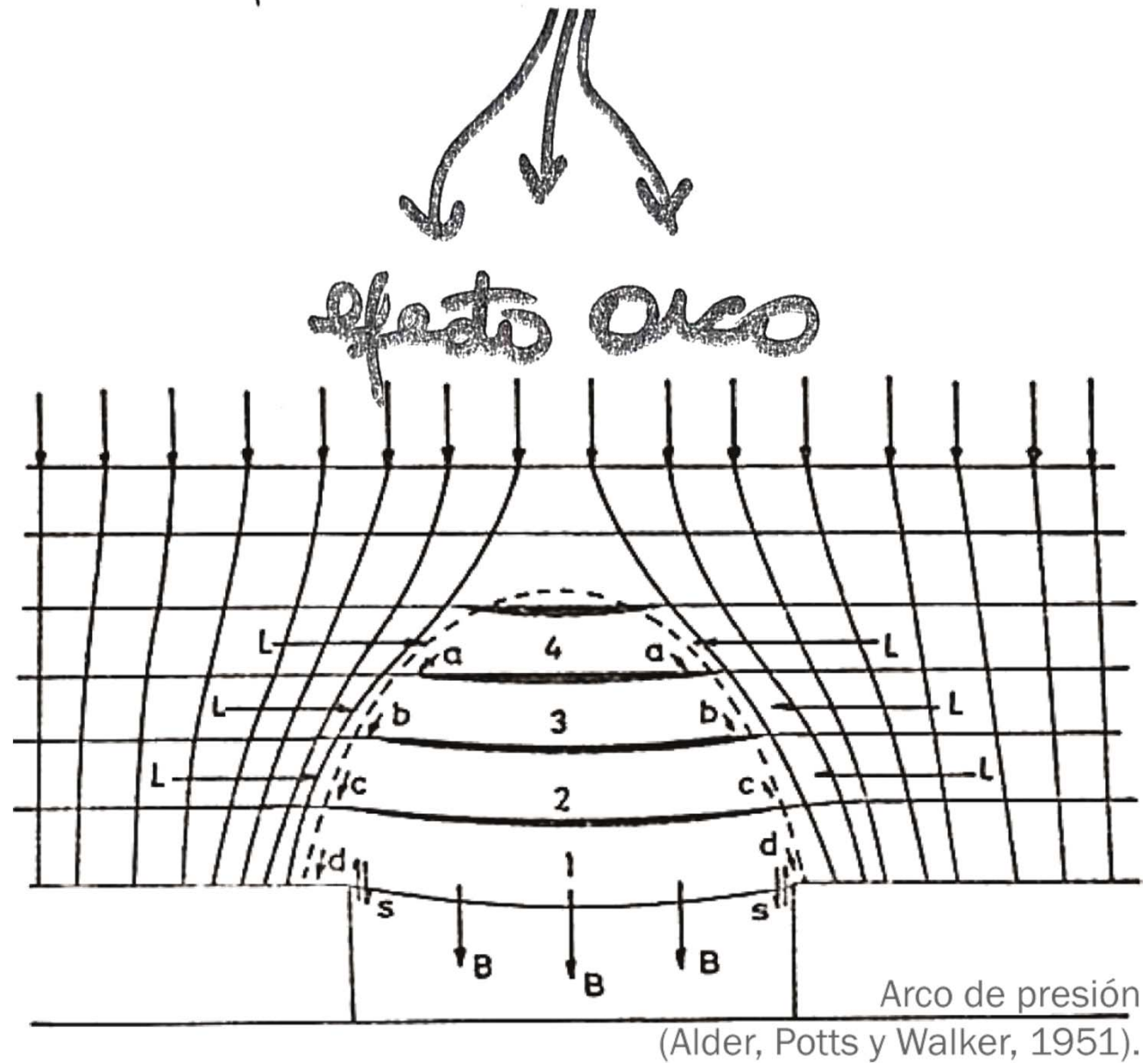
Evolución de los sistemas constructivos

Grecia - Helenismo - Roma



efecto arco

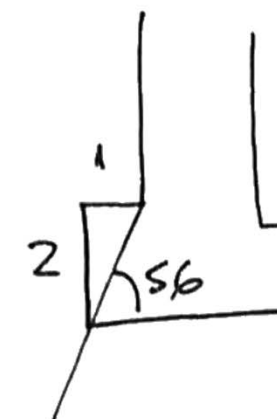
difusión de cargas x efecto arco



CIMENTACIONES

vraje x esfuerzo directo

rigidez



mampostería (sin armadura)



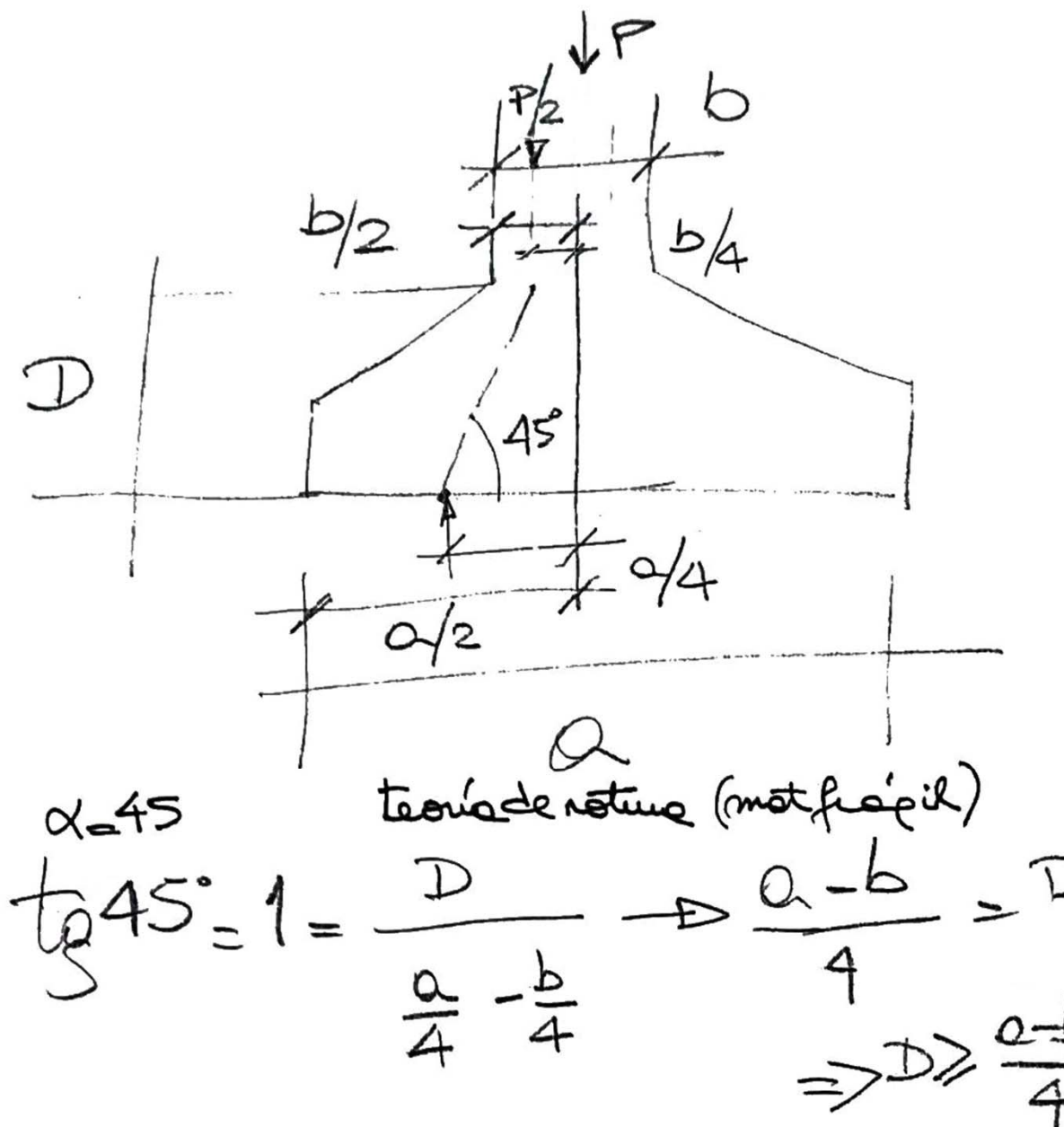
HºAº (con armadura)

Análisis x teoría de rotura del Hº

CIMENTACIONES



rigidez



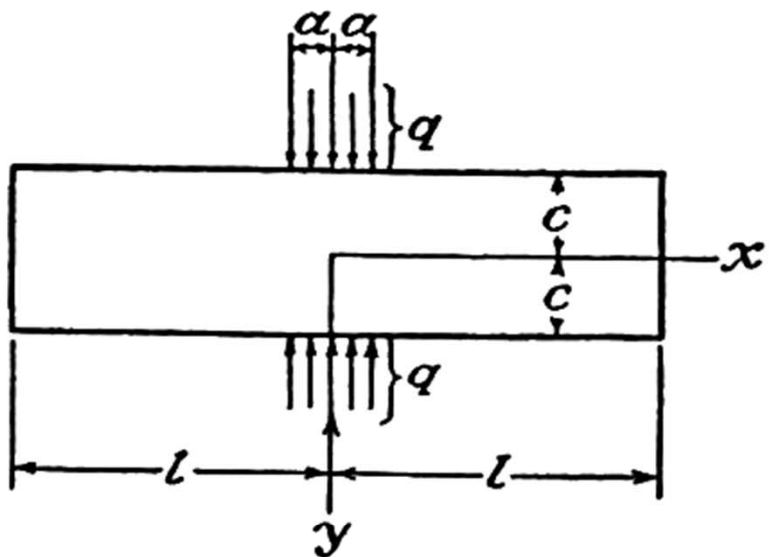
filon

CIMENTACIONES



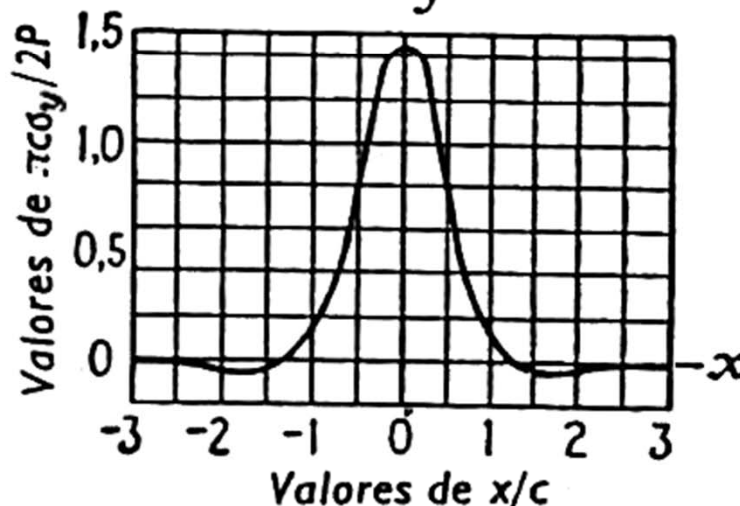
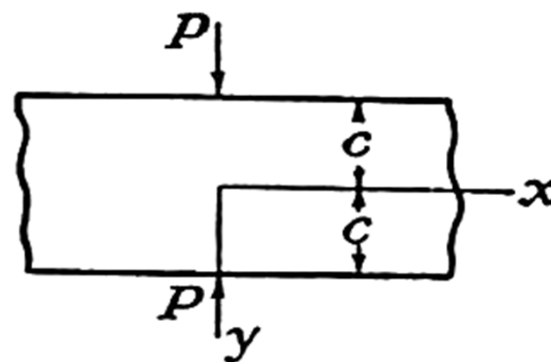
rigidez

TEORIA DE LA ELASTICIDAD

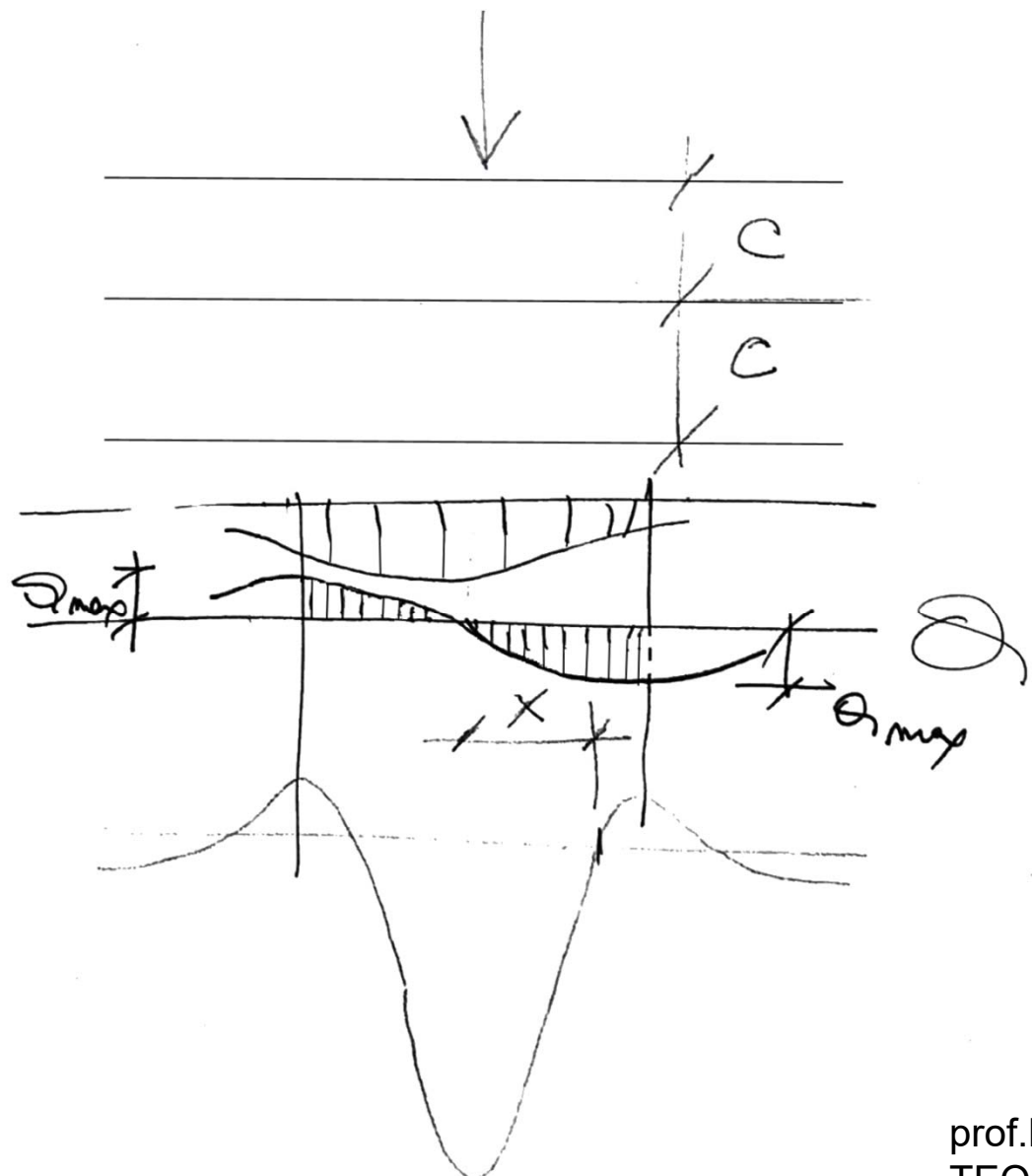


$$\sigma_y = -\frac{qa}{l} - \frac{4q}{\pi} \sum_{m=1}^{\infty} \frac{\sin \frac{m\pi a}{l}}{m} \cdot \frac{\frac{m\pi c}{l} \operatorname{ch} \frac{m\pi c}{l} + \operatorname{sh} \frac{m\pi c}{l}}{\operatorname{sh} \frac{2m\pi c}{l} + 2 \frac{m\pi c}{l}} \cdot \cos \frac{m\pi x}{l}$$

tensión normal σ_y , única que actúa en el plano medio $y = 0$



filon



CIMENTACIONES

rigidez



$$\frac{X}{C} = 1.35$$

entonces

$$\frac{X}{C} = \frac{a-b}{24} = 1.35 \rightarrow \frac{a-b}{27} = +$$

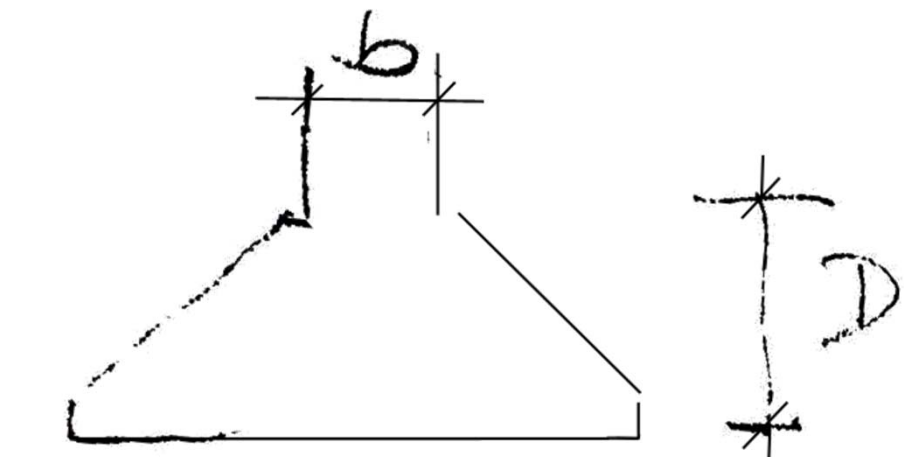
prof.L.N.G.FILON, F.R.S.

TEORIA-DE-LA-ELASTICIDAD-TIMOSHENKO-Y-GOODIER

Philosophical transactions of the Royal Society of London, series A, volume 201, año 1903.

Mathematical and physical sciences (Great Britain)

expresión general y simplificada



$$a - b$$

$$D \geq \frac{a - b}{\frac{1.5}{\sqrt{t}} + 2}$$

$$\sqrt{t} < 10 \text{ kg/cm}^2$$

CIMENTACIONES

rigidez



$$D \geq \frac{a - b}{3}$$

ZAPATAS DE HORMIGON SIMPLE

a) carga de la pared por m de longitud

b) espesor de la pared

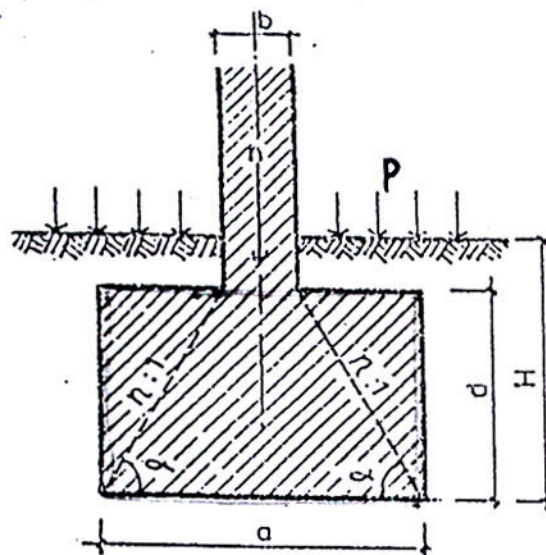
d) espesor de zapata

H) distancia entre la superficie del terreno o del suelo y la base de la zapata

p) sobrecarga de uso sobre el terreno o sobre el suelo del sótano

γ_m) carga de cálculo media (para hormigón y recubrimiento de tierra)

↓ n



$$a = \frac{n}{P_s \text{ adm.} - (\gamma_m H + p)}$$

$$d = \frac{(a - b)}{2} \cdot n \quad \text{pendiente}$$

FACTOR n SEGUN EL SUPLEMENTO PARA DIN 1045 DEL ABRIL 1975

Terrreno → $P_s \text{ adm. (kN/m}^2\text{)}$	Γ/bk	100	200	300	400	500
B 5 ↓ H°	4	1,6	2,0	2,0	- 1)	- 1)
B 10	8	1,1	1,6	2,0	2,0	2,0
B 15	~13	1,0	1,3	1,6	1,8	2,0
B 25	21	1,0	1,0	1,2	1,4	1,6
B 35	30	1,0	1,0	1,0	1,2	1,3

verificación al aplastamiento

$$\frac{\alpha}{b} \leq \frac{\beta R}{v}$$

Notas:

-1) no admisible

Unidades: $[1 \frac{\text{KN}}{\text{m}^2} = 0,01 \frac{\text{Kg}}{\text{cm}^2}]$

βR/v PARA LOS TIPOS DE RESISTENCIA DE HORMIGON B5 HASTA B25

B	5	10	15	25
$\frac{\beta R}{v} (\text{N/mm}^2)$	1,15	2,3	4,2	7,0

$$[1 \frac{\text{N}}{\text{mm}^2} = 10 \frac{\text{Kg}}{\text{cm}^2}]$$

separar fundación de estructura

¿Cómo saber si una estructura es flexible o no? se usa la sig. fórmula

Meyerhoff (1953) formula que:

$$k_r = \frac{E_F \cdot I_F + \sum E_v I_v + \frac{E_M \cdot a \cdot h^3}{12}}{E_s \cdot l \cdot b^3}$$

$k_r > 0,5 \rightarrow$ fundación/estructura: rígida \rightarrow puede asegurarse que no va haber asentamientos diferenciados $< 10\%$ del total

en este caso la distribución de presiones se determina x Boussinesq

$k_r \leq 0,5 \rightarrow$ fundación/estructura: flexible \rightarrow puede haber asentamientos diferenciados
Es: módulo de elasticidad del suelo $\approx 0,7 \cdot c_d \cdot d$

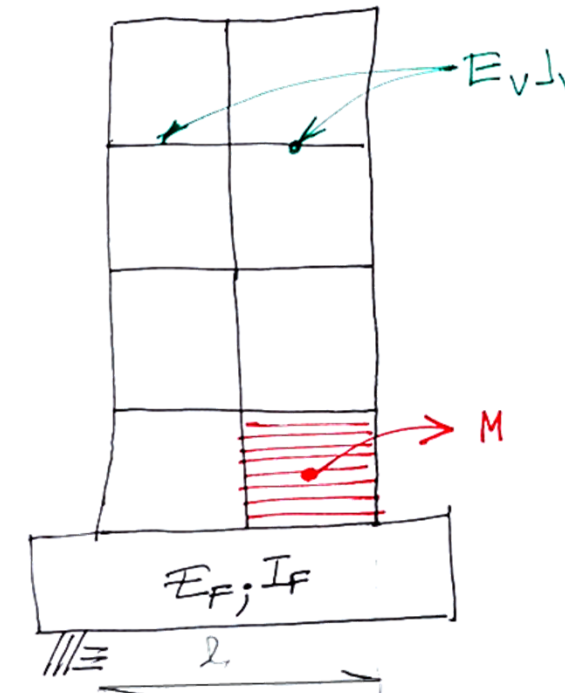
$\begin{cases} \downarrow \text{diámetro de ensayo} \\ \downarrow \text{coef de boldo} \end{cases}$

b: ancho del cimiento

Sirve para saber cuando una estructura puede tener asentamientos diferenciados importantes.

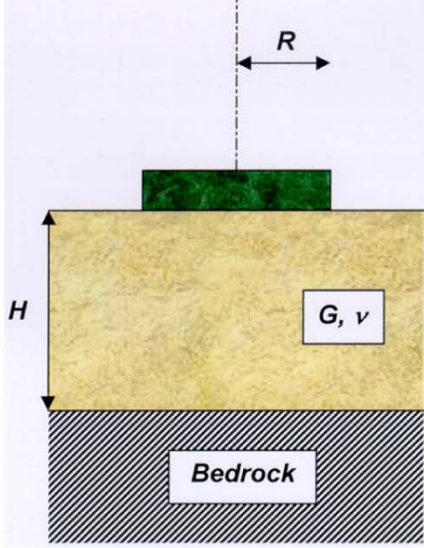
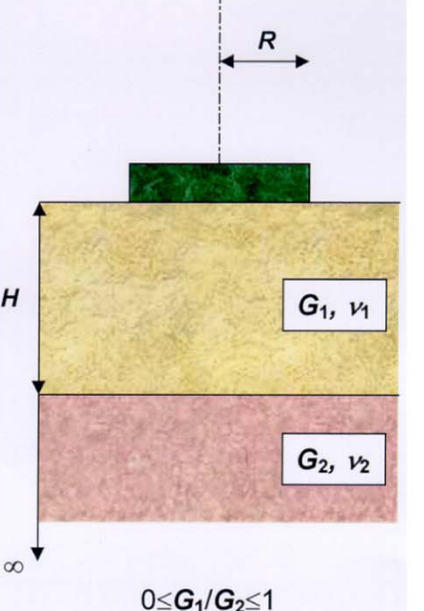
CIMENTACIONES

rigidez



M: monolito que apoya en la fundación
a = espesor
h = altura
 E_M

Circular footing on stratum over bedrock or on stratum over half-space.

	On stratum over bedrock	On stratum over half-space
		
Mode of motion	Foundation stiffness	Foundation stiffness
Vertical	$K_v = \frac{4GR}{1-\nu} \left(1 + 1.28 \frac{R}{H}\right)$	$K_v = \frac{4G_1 R}{1-\nu_1} \frac{1 + 1.28 \frac{R}{H}}{1 + 1.28 \frac{R}{H} \frac{G_1}{G_2}} ; 1 \leq H/R \leq 5$
Horizontal	$K_h = \frac{4GR}{1-\nu} \left(1 + 1.28 \frac{R}{H}\right)$	$K_h = \frac{8G_1 R}{1-\nu_1} \frac{1 + \frac{R}{2H}}{1 + \frac{R}{2H} \frac{G_1}{G_2}} ; 1 \leq H/R \leq 4$
Rocking	$K_r = \frac{8GR^3}{3(1-\nu)} \left(1 + \frac{R}{6H}\right)$	$K_r = \frac{8G_1 R^3}{3(1-\nu_1)} \frac{1 + \frac{R}{6H}}{1 + \frac{R}{6H} \frac{G_1}{G_2}} ; 0.75 \leq H/R \leq 2$
Torsion	$K_t = \frac{16GR^3}{3}$	Not given

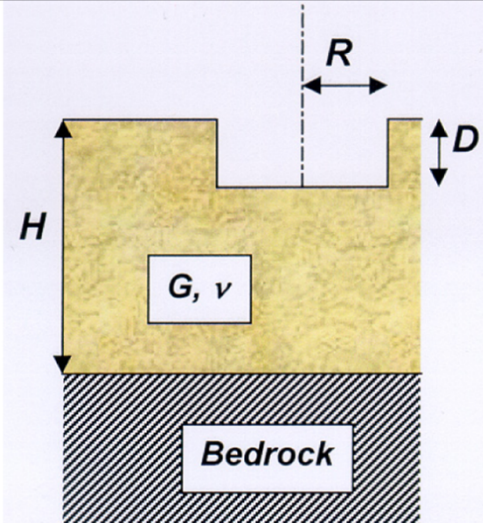
CIMENTACIONES

rigidez



Guidelines for Design of Wind Turbines – DNV(Det Norske Veritas), Copenhagen and Wind Energy Department, Risø National Laboratory, ISBN 87-550-2870-5. Denmark (2002)

Circular footing embedded in stratum over bedrock



Range of validity:

$$D/R < 2$$

$$D/H < \frac{1}{2}$$

Mode of motion	Foundation stiffness
Vertical	$K_v = \frac{4GR}{1-\nu} \left(1 + 1.28 \frac{R}{H}\right) \left(1 + \frac{D}{2R}\right) \left(1 + \left(0.85 - 0.28 \frac{D}{R}\right) \frac{D/H}{1-D/H}\right)$
Horizontal	$K_h = \frac{8GR}{1-\nu} \left(1 + \frac{R}{2H}\right) \left(1 + \frac{2}{3} \frac{D}{R}\right) \left(1 + \frac{5}{4} \frac{D}{H}\right)$
Rocking	$K_r = \frac{8GR^3}{3(1-\nu)} \left(1 + \frac{R}{6H}\right) \left(1 + 2 \frac{D}{R}\right) \left(1 + 0.7 \frac{D}{H}\right)$
Torsion	$K_t = \frac{16GR^3}{3} \left(1 + \frac{8D}{3R}\right)$

CIMENTACIONES

rigidez



Guidelines for Design of Wind Turbines – DNV(Det Norske Veritas), Copenhagen and Wind Energy Department, Risø National Laboratory, ISBN 87-550-2870-5. Denmark (2002)

Table 8-7. Flexible pile.

Soil profile	Standardised springs at pile head		
	Horizontal $\frac{K_H}{DE_s}$	Rocking $\frac{K_R}{D^3E_s}$	Coupled $\frac{K_{H,R}}{D^2E_s}$
Linear increase with depth $E = E_S z / D$	$0.6 \left(\frac{E_p}{E_s} \right)^{0.35}$	$0.14 \left(\frac{E_p}{E_s} \right)^{0.80}$	$-0.17 \left(\frac{E_p}{E_s} \right)^{0.60}$
Increase with square-root of depth $E = E_S \sqrt{z / D}$	$0.8 \left(\frac{E_p}{E_s} \right)^{0.28}$	$0.15 \left(\frac{E_p}{E_s} \right)^{0.77}$	$-0.24 \left(\frac{E_p}{E_s} \right)^{0.53}$
Homogeneous $E = E_s$	$1.08 \left(\frac{E_p}{E_s} \right)^{0.21}$	$0.16 \left(\frac{E_p}{E_s} \right)^{0.75}$	$-0.22 \left(\frac{E_p}{E_s} \right)^{0.50}$

CIMENTACIONES

rigidez



Guidelines for Design of Wind Turbines – DNV(Det Norske Veritas), Copenhagen and Wind Energy Department, Riso National Laboratory, ISBN 87-550-2870-5. Denmark (2002)